

انتقال گرمای نانوسیال در یک کانال دارای میدان مغناطیسی و مانع متخلخل با استفاده از مدل داریسی -

برینکمن - فرچهیمر در روش شبکه بولتزمن*

مقاله پژوهشی

ساعد بازخانه^(۱) ایمان زحمتکش^(۲)

چکیده در این پژوهش، انتقال گرمای نانوسیال در یک کانال در حضور میدان مغناطیسی خارجی و مانع متخلخل شبیه‌سازی و تجزیه و تحلیل می‌شود. برای شبیه‌سازی میدان جریان درون مانع متخلخل، مدل داریسی-برینکمن-فرچهیمر در روش شبکه بولتزمن اعمال می‌شود. سپس، با استفاده از روش طراحی آزمایشات، اثر متغیرهای مؤثر بر میزان انتقال گرما مطالعه می‌شود. نتایج نشان می‌دهد که نوع نانوذرات با سهم ۶۲/۷۹ درصد، بیشترین تأثیر را بر میزان تبادل گرما دارد. متغیرهای دوم و سوم، اندازه مانع متخلخل و عدد رینولدز به ترتیب با سهم ۲۰/۷۱ و ۷/۵۸ درصد است. سهم عدد هارتمن و کسر حجمی نانوذرات نیز در حدود ۳ درصد برآورد می‌شود. با وجود این، مشاهده می‌شود که در مسئله حاضر، تأثیر ضریب تخلخل، جنس و عدد داریسی مانع بر مقدار عدد ناسلت میانگین ناچیز است.

واژه‌های کلیدی نانوسیال، میدان مغناطیسی، محیط متخلخل، روش شبکه بولتزمن، مدل داریسی-برینکمن-فرچهیمر، روش طراحی آزمایشات.

مقدمه

کاربردهای فراوانی در مبدل‌های گرمایی، کلکتورهای خورشیدی، بویلرها، مبدل‌های قدرت، رآکتورهای شیمیایی، میکرومبدل‌های گرمایی، خنک‌کننده‌های وسایل الکترونیکی، مبدل‌های کاتالیستی و رادیاتور خودرو دارند. برای بهبود تبادل گرما در این گونه وسایل، در سال‌های گذشته شاهد تحقیقات فراوانی روی (الف) استفاده از مواد متخلخل، (ب) بهره‌گیری از نانوسیال به عنوان سیال عامل و (ج) اعمال میدان مغناطیسی به سیال عامل بوده‌ایم. در ادامه، برخی از این مطالعات بررسی می‌شوند.

فکور و همکاران [1] جریان آرام و انتقال گرما را در یک کانال متخلخل با دیوارهای نفوذپذیر و در حضور میدان مغناطیسی مطالعه کردند. آن‌ها دریافتند که افزایش عدد هارتمن، سرعت نانوسیال را کاهش و مقدار بیشینه دما را افزایش می‌دهد.

انتقال گرمای همرفتی یکی از ۳ روش انتقال گرما به‌شمار می‌آید. ۲ روش دیگر، رسانش و تابش هستند. انتقال گرمای همرفتی شیوه‌ای از انتقال گرماست که در آن، انرژی گرمایی می‌تواند در اثر اختلاف دما، بین یک سطح و سیال در حال عبور از روی آن مبادله شود. بسته به اینکه عامل همرفت چه باشد، انتقال گرمای همرفتی به ۲ گونه انجام می‌شود: الف) همرفت اجباری که یک نیروی خارجی باعث حرکت سیال روی سطح می‌شود و ب) همرفت آزاد یا طبیعی که در آن، حرکت سیال به دلیل نیروی شناوری است، که خود بر اثر تغییر چگالی ناشی از تغییر دمای سیال ایجاد شده است.

در میان مسائل همرفت اجباری، انتقال گرما در کانال‌ها و لوله‌ها همواره از مهم‌ترین مسائل بوده است؛ زیرا

DOI: 10.22067/jacsm.2021.56842.0

* تاریخ دریافت مقاله ۹۹/۷/۱ و تاریخ پذیرش آن ۰۰/۱/۳۰ می‌باشد.

(۱) دانشجوی دکتری، گروه مکانیک، واحد مشهد، دانشگاه آزاد اسلامی، مشهد، ایران.

(۲) نویسنده مسئول، دانشیار، گروه مکانیک، واحد مشهد، دانشگاه آزاد اسلامی، مشهد، ایران.

Email: Zahmatkesh5310@mshdiau.ac.ir

ایزدی و همکاران [2] انتقال گرمای همرفت طبیعی را در یک محفظه متخلخل در حضور ۲ میدان مغناطیسی متغیر شبیه‌سازی کردند و مشخص شد که با افزایش نفوذپذیری محیط متخلخل، مقدار عدد ناسلت کم می‌شود.

بضاعت‌پور و گوهرخواه [3] تأثیر میدان مغناطیسی بر نرخ انتقال گرمای همرفت اجباری را در یک چاه گرمایی دارای پره‌های متخلخل و در حضور میدان مغناطیسی بررسی کردند. از نتایج مهم آن‌ها این بود که با افزایش شدت میدان مغناطیسی، میزان ضریب انتقال گرمای همرفتی افزایش می‌یابد.

حیدری و همکاران [4] حلی عددی برای جریان نانوسیال در داخل کانالی با سطح مقطع مستطیل شکل در حضور میدان مغناطیسی ارائه کردند و دریافتند که با افزایش کسرحجمی نانوذرات، عدد ناسلت بیشتر می‌شود.

زحمتکش و شاندیز [5] پژوهشی برای یافتن حالت بهینه برای انتقال گرمای همرفت توأم و طبیعی نانوسیالات در یک محفظه متخلخل و در حضور میدان مغناطیسی انجام دادند. باتوجه به نتایج آن‌ها، حالت بهینه در همه شرایط برای نانوسیال آب اکسید مس با گوی‌های شیشه‌ای به دست آمد. همچنین، مشاهده شد که مهم‌ترین عامل در همرفت توأم، ماده سازنده محیط متخلخل است.

در ۲ دهه گذشته شاهد شکل‌گیری روشی قدرتمند در زمینه تحلیل جریان به نام روش شبکه بولتزمن بوده‌ایم. این روش که با پیروی از روش شبکه گازی و برای رفع نقایص آن به وجود آمده، به سرعت جایگاه خود را در تحلیل جریان‌های پیچیده تثبیت کرده است [6]. در روش شبکه بولتزمن به واسطه نگاه میکروسکوپی به مفهوم سیال، توابع توزیع سیال به عنوان مبنای تحلیل جریان سیال قلمداد می‌شود. به کارگیری توابع توزیع که بیانگر احتمال حضور ذرات سیال در یک مکان دل‌خواه است، به این روش اجازه می‌دهد به جای حل معادلات غیرخطی ناویر-استوکس، به حل معادله

ساده‌شده و شبه‌خطی انتقال بولتزمن بپردازد [7]. نخستین بار در سال ۱۹۸۶ اوریل و همکاران [8] یک حل عددی برای معادله بولتزمن ارائه کردند. در ادامه، این روش را مک‌نامارا و زانتی [9]، هیگورا و جیمنز [10] و چن و همکاران [11] توسعه دادند.

مرور مقالات موجود نشان می‌دهد که روش شبکه بولتزمن پیش از این کمتر برای شبیه‌سازی جریان و انتقال گرمای نانوسیالات در حضور هم‌زمان میدان مغناطیسی و محیط متخلخل به کار رفته است. برخی کارهای انجام‌شده به این شرح است: آشوری‌نژاد و ضرغامی [12] اثر میدان مغناطیسی را روی انتقال گرمای نانوسیال آب‌مس درون کانالی که قسمتی از آن متخلخل بوده است و دیوار زیرین آن موجی شکل بود، با استفاده از روش شبکه بولتزمن شبیه‌سازی کردند. نتایج نشان داد که عدد ناسلت با افزایش عدد هارتمن افزایش می‌یابد. همچنین، ثروتی و همکاران [13] اثر میدان مغناطیسی را روی انتقال گرمای همرفتی نانوسیال آب‌آلومینا در یک کانال دارای لایه متخلخل به روش شبکه بولتزمن بررسی کردند. آن‌ها به این نتیجه رسیدند که با افزایش عدد هارتمن و کسرحجمی نانوذرات، میزان انتقال گرما افزایش می‌یابد. باید در نظر داشت که موارد ساده‌تری که در آن‌ها فقط یک یا ۲ عامل از عوامل فوق مؤثر باشند، بیشتر بررسی شده‌اند که در ادامه، نمونه‌هایی از آن‌ها آورده شده است:

گلنشان و لهونیان [14] با کمک روش شبکه بولتزمن، پخش نانوذرات در یک بافت سرطانی را تحت میدان مغناطیسی در خلال فرایند هایپرترمیا مطالعه کردند. مشاهده شد که با تزریق چندگانه نانوذرات می‌توان به یک توزیع یکنواخت از نانوذرات در داخل بافت دست یافت.

نظری و همکاران [15] با استفاده از روش شبکه بولتزمن، انتقال گرما را در یک کانال در حضور مانع متخلخل بررسی کردند و به این نتیجه رسیدند که با کاهش نفوذپذیری مانع متخلخل، مقدار عدد ناسلت میانگین افزایش می‌یابد. همچنین، مشخص شد که با

اینرسی و اثرات گرانروی را اعمال کند. برای این منظور، جملات فرچه‌یمر و برینکمن به قانون داریسی اضافه شده‌اند. جمله فرچه‌یمر، اثرات لختی را در نظر می‌گیرد [21] و جمله برینکمن، اثرات گرانروی و شرط نبود لغزش در دیوارهای نفوذناپذیر را اعمال می‌کند و همچنین، معادلات حرکت در سطح مشترک بین ناحیه متخلخل و غیرمتخلخل را تطابق می‌دهد که مانع از پرش سرعت در آن‌جا می‌شود [21]. بدین ترتیب، مدل گسترش‌یافته داریسی-برینکمن-فرچه‌یمر را می‌توان کامل‌ترین مدل برای شبیه‌سازی جریان در محیط‌های متخلخل دانست که استفاده از آن در سال‌های گذشته روبه‌افزایش است. به‌عنوان نمونه، گلی و زحمتکش [22] با بهره‌گیری از این مدل، جریان لغزشی را در میکرولوله‌های متخلخل در شرایط نبود تعادل گرمایی شبیه‌سازی کردند. رشیدی و همکاران [23] این مدل را برای تحلیل جریان و انتقال گرمای سیال مغناطیسی در اطراف یک مانع متخلخل به خدمت گرفتند. نمودچیان و همکاران [24] با ترکیب مدل داریسی-برینکمن-فرچه‌یمر و مدل مخلوط دوفازی، جریان و انتقال گرمای نانوسیال را در یک کانال حلقوی همراه با موانع متخلخل بررسی کردند. اسماعیلی و همکاران [25] با بهره‌گیری از مدل داریسی-برینکمن-فرچه‌یمر و مدل تک‌فازی، به شبیه‌سازی عددی یک کلکتور خورشیدی جذب مستقیم استفاده‌کننده از نانوسیال و محیط متخلخل پرداختند.

این تحقیق به شبیه‌سازی انتقال گرمای همرفت اجباری نانوسیال در یک کانال دارای میدان مغناطیسی و مانع متخلخل با استفاده از اعمال مدل داریسی-برینکمن-فرچه‌یمر در روش شبکه بولتزمن می‌پردازد. در ادامه، اثر عوامل مؤثر بر میزان تبادل گرما مطالعه می‌شود. باتوجه‌به تعدد متغیرهای تأثیرگذار بر مسئله، روش تاگوچی برای طراحی آزمایشات استفاده می‌شود. این امر امکان تحلیل اثر تک‌تک متغیرهای تأثیرگذار بر تبادل گرما در این مسئله را فراهم می‌کند. بدین ترتیب، نوآوری اول این پژوهش شامل اعمال هم‌زمان اثرات نانوسیال، میدان مغناطیسی و محیط متخلخل در روش شبکه بولتزمن

افزایش اندازه مانع متخلخل، میزان انتقال گرما به‌طرز چشمگیری بیشتر می‌شود.

رنگ و همکاران [16] با بهره‌گیری از روش شبکه بولتزمن، پژوهشی را درباره نصب موانع متخلخل درون مبدل‌های گرمایی لوله‌ای انجام دادند. یکی از نتایج مهم آن‌ها این بود که با افزایش ضریب تخلخل موانع متخلخل، عدد ناسلت افزایش می‌یابد.

آبچویه و همکاران [17] با به‌کارگیری روش شبکه بولتزمن، مقدار عدد ناسلت میانگین را در یک کانال مستطیل‌شکل دارای موانع درون آن محاسبه کردند. نتایج نشان داد که با افزایش اندازه نانوذرات و کاهش فاصله بین موانع متخلخل، میزان عدد ناسلت میانگین نیز افزایش می‌یابد.

فنگ و همکاران [18] انتقال گرمای همرفتی را در یک محیط متخلخل با استفاده از روش شبکه بولتزمن شبیه‌سازی کردند. نتایج نشان داد که با کاهش عدد داریسی، مقدار عدد ناسلت میانگین بیشتر می‌شود.

محبی و همکاران [19] مطالعه‌ای روی جریان و انتقال گرمای نانوسیال در یک کانال در حضور چشمه‌های گرمایشی و سرمایشی را که به‌صورت جداگانه و شیاردار در داخل کانال نصب شده بودند، با استفاده از روش شبکه بولتزمن انجام دادند. یکی از نتایج مهم آن‌ها این بود که نصب موانع روی دیوارهای کانال می‌تواند میزان انتقال گرما را افزایش دهد.

سجادی و همکاران [20] پژوهشی روی اثر میدان مغناطیسی بر انتقال گرمای همرفت طبیعی در یک محیط متخلخل به‌روش شبکه بولتزمن انجام دادند. آن‌ها دریافتند که عدد ناسلت میانگین با افزایش عدد داریسی و ضریب تخلخل بیشتر می‌شود.

محیط متخلخل بیشتر بر پایه قانون داریسی مطالعه شده است. قانون داریسی، سرعت سیال را به‌صورت تابع صریحی از شیب فشار تعیین می‌کند و برای جریان‌هایی با عدد رینولدز بسیار کم کاربرد دارد. برای جریان‌هایی با رینولدزهای بالاتر، قانون داریسی باید اصلاح شود تا

عرض $H = 8$ سانتی متر است که در شکل ۱ نشان داده شده است. همان گونه که مشخص است، یک مانع متخلخل با ابعاد $w \times w$ در فاصله $b = 20$ سانتی متر از ابتدای کانال قرار گرفته است که مرکز آن با دیوار بالایی $a = 4$ سانتی متر فاصله دارد. در این پژوهش، مقادیرهای $w = 1, 2, 4 \text{ cm}$ برای اندازه مانع متخلخل استفاده شده است. دمای نانوسیال ورودی $T_{in} = 300 \text{ K}$ و دمای دیوارها $T_w = 340 \text{ K}$ است.

فرض می شود که جریان دوبعدی، تک فازی، آرام، تراکم ناپذیر و پایدار است. محیط متخلخل، همگن و همسانگرد است و مدل دارسی-برینکمن-فرچیمیر برای اندازه حرکت به کار می رود. همه خواص نانوسیال در نظر گرفته شده است و دمای فاز جامد و نانوسیال یکسان فرض می شود. علاوه بر این، از هدررفت گرانی، همرفت طبیعی، تبادل تابش و گرمایش ژول صرف نظر می شود.

معادلات حاکم

در این پژوهش از روش شبکه بولتزمن با تقریب بی جی کی [31] به صورت زیر استفاده می شود:

$$\frac{f_i(\mathbf{x} + \mathbf{e}_i \delta t, t + \delta t) - f_i(\mathbf{x}, t)}{\delta t} = -\frac{1}{\tau_f} (f_i(\mathbf{x}, t) - f_i^{eq}(\mathbf{x}, t)) + F_i \quad (1)$$

در معادله بالا، \mathbf{x} مختصات فضایی، t زمان، δt گام زمانی، F_i بردار نیروی حجمی، $f_i(\mathbf{x}, t)$ تابع توزیع لحظه ای سرعت ذرات در جهت سرعت مجزای i و $\tau_f = \nu_{nf} / (\delta t \cdot c_s^2) + 0.5$ زمان آرامش هیدرودینامیکی هستند. همچنین، $c_s = c / \sqrt{3}$ سرعت صوت شبکه ای است که در آن، c سرعت شبکه ای است که به صورت نسبت اندازه شبکه، δx ، به اندازه گام زمانی شبکه، δt ،

است؛ به گونه ای که نانوسیال و میدان مغناطیسی در سرتاسر میدان حل و محیط متخلخل، فقط در بخشی از آن حضور دارد. نوآوری دوم این پژوهش، به کارگیری روش تاگوچی برای طراحی آزمایشات در تحلیل نتایج حل عددی چنین مسئله ای است. درحقیقت، برخلاف بیشتر پژوهش های گذشته (خواه به روش کلاسیک و خواه به روش طراحی آزمایشات) که در میان متغیرهای تأثیرگذار به بررسی اثر چند متغیر خاص بر تبادل گرما بسنده کرده اند، در این پژوهش، تأثیر همه متغیرهای تأثیرگذار (۸ متغیر) به شکلی نظام مند مطالعه شده است. شایان ذکر است که استفاده از روش تاگوچی در تحلیل مسائل مختلف درحال افزایش است. به عنوان نمونه، شیروان و مأموریان [26] با استفاده از این روش، انتقال گرمای همرفت توأم و تولید آنتروپی را در یک محفظه مربعی با درپوش متحرک بهینه سازی کردند. جامعی و عباسی [27] با بهره گیری از این روش، بهترین شرایط کاری را برای انتقال گرمای نانوسیالات در یک چاه گرمایی میکروکانالی تعیین کردند. علی نژاد و اصفهانی [28] با کمک این روش، حالت بهینه در همرفت طبیعی نانوسیال در محفظه ای نیم دایره ای را برای نیل به بیشترین تبادل گرما و کمترین تولید آنتروپی به دست آوردند. به تازگی نیز شریفی و همکاران [29] برپایه این روش و محاسبات مکانیک کوانتومی، سورفکتنت بهینه برای پایداری نانوسیال آلومینا آب نمک را تعیین کردند. علاوه بر این، بازخانه و زحمتکش [30] با کمک این روش به بررسی عوامل مؤثر بر هیدرودینامیک و انتقال گرمای نانوسیال در یک چاه گرمایی میکروکانالی دارای لایه های متخلخل پرداختند.



شکل ۱ طرح شماتیک هندسه مطالعه شده

بیان مسئله

هندسه این پژوهش، کانالی به طول $L=40$ سانتی متر و

می‌شود [32,33]:

$$F_i = w_i \rho_{nf} \left(1 - \frac{1}{2\tau_f} \right) \left[\frac{e_i \cdot E}{c_s^2} + \frac{(V \cdot e_i)(E \cdot e_i)}{\varepsilon c_s^4} - \frac{V \cdot E}{\varepsilon c_s^2} \right]_{i=0-8} \quad (5)$$

که در آن، E مجموع نیروهای حجمی ناشی از محیط متخلخل و میدان مغناطیسی را نشان می‌دهد و از طریق معادله ارگن [34] محاسبه می‌شود:

$$E = \varepsilon \left[F_L - \frac{v_{nf}}{K} V - \frac{F_\varepsilon}{\sqrt{K}} |V| \right] \quad (6)$$

در این جا، K نفوذپذیری محیط متخلخل است که به صورت $K = Da \cdot H^2$ به عدد بی بعد داری، Da و طول مشخصه جریان، H ، مرتبط است. همچنین، $F_\varepsilon = 1/75 / \sqrt{150 \cdot \varepsilon^3}$ تابع هندسی است. در رابطه (6)، جملات دوم و سوم به ترتیب نمایانگر جمله خطی داری و جمله غیرخطی فرچهیمر هستند. علاوه بر این، F_L نیروی لورنتز ناشی از اعمال میدان مغناطیسی را نشان می‌دهد که نحوه محاسبه آن به صورت زیر است [15]:

$$F_L = A[v \sin \beta \cos \beta - u \sin^2 \beta] \mathbf{i} + A[u \sin \beta \cos \beta - v \cos^2 \beta] \mathbf{j} \quad (7)$$

در رابطه بالا، β زاویه میدان مغناطیسی با راستای افقی است که در این جا $\beta = \pi/2$ (میدان مغناطیسی عمودی) در نظر گرفته شده است. همچنین، A شاخص مغناطیسی است که به صورت زیر با عدد هارتمن، Ha ، مرتبط است [15]:

تعریف می‌شود. شایان ذکر است که در این پژوهش: $\delta x = \delta t = 1$

سرعت‌های مجزا در شبکه $D2Q9$ در جهت‌های زیر تعریف می‌شوند [31]:

$$\begin{aligned} e_{i=0} &= 0 \\ e_{i=1-4} &= c(\cos[(i-1)\pi/2], \sin[(i-1)\pi/2]) \\ e_{i=5-8} &= \sqrt{2}c(\cos[(i-5)\pi/2 + \pi/4], \sin[(i-5)\pi/2 + \pi/4]) \end{aligned} \quad (2)$$

که $i=1-4$ جهت‌های مربعی و $i=5-8$ جهت‌های قطری شبکه را نشان می‌دهند. در رابطه (1)، سمت چپ معادله، جمله انتشار و سمت راست معادله، جملات برخورد و نیروی حجمی است. در انتشار، ذرات در جهت f_i ها به سمت نزدیک‌ترین گره شبکه مجاور خود حرکت می‌کنند، درحالی که برخورد سبب می‌شود ذرات به سمت تعادل محلی میل کنند. با به کارگیری مدل داری-برینکمن-فرچهیمر، تابع توزیع تعادلی در محیط متخلخل به صورت زیر محاسبه می‌شود [32]:

$$f_i^{eq} = w_i \rho_{nf} \left[1 + \frac{e_i \cdot V}{c_s^2} + \frac{(e_i \cdot V)^2}{2c_s^4 \varepsilon} - \frac{V \cdot V}{2c_s^2 \varepsilon} \right]_{i=0-8} \quad (3)$$

که $V = ui + vj$ بردار سرعت ماکروسکوپی سیال و ε ضریب تخلخل است. فاکتور وزنی، w_i ، به صورت زیر تعیین می‌شود:

$$w_i = \begin{cases} \frac{4}{9}; & i = 0 \\ \frac{1}{9}; & i = 1-4 \\ \frac{1}{36}; & i = 5-8 \end{cases} \quad (4)$$

نیروی حجمی در رابطه (1) در محیط متخلخل و در حضور میدان مغناطیسی به شکل زیر تعیین

همچنین، g_i^{eq} تابع توزیع تعادلی انرژی است که از رابطه زیر محاسبه می‌شود [15]:

$$g_i^{eq} = w_i T \left[1 + \frac{e_i \cdot V}{c_s^2} \right]_{i=0-8} \quad (17)$$

که در آن، T دماست:

$$T = \sum_{i=0}^8 g_i \quad (18)$$

خواص مؤثر نانوسیال شامل گرمای ویژه مؤثر، گرانروی پویای مؤثر، ضریب رسانش گرمای مؤثر و ضریب رسانش الکتریکی مؤثر به ترتیب زیر محاسبه می‌شوند [37].

$$C_{nf} = \frac{(1 - \varphi)\rho_f C_f + \varphi \rho_p C_p}{\rho_{nf}} \quad (19)$$

$$\mu_{nf} = \frac{\mu_f}{(1 - \varphi)^{2.5}} \quad (20)$$

$$k_{nf} = \frac{k_p + 2k_f + 2(k_p - k_f)\varphi}{k_p + 2k_f - (k_p - k_f)\varphi} k_b \quad (21)$$

$$\sigma_{nf} = 1 + \frac{3(\sigma_p/\sigma_f - 1)\varphi}{(\sigma_p/\sigma_f + 2) - (\sigma_p/\sigma_f - 1)\varphi} \sigma_f \quad (22)$$

روابط حاضر، روابط حاکم بر جریان و انتقال گرمای نانوسیال را در عبور از مانع متخلخل معرفی می‌کنند. با برابر واحد فرض کردن ضریب متخلخل و حذف جملات دوم و سوم سمت راست رابطه (۶)، این معادلات به معادلات حاکم در خارج از مانع ساده خواهند شد.

شرایط مرزی

بر روی گره‌های مرزی، مقدار توابع توزیع f_i و g_i در

$$A = \frac{Ha^2 v_{nf}}{H^2} \left(\frac{\sigma_{nf}}{\sigma} \right) \quad (8)$$

چگالی و سرعت ماکروسکوپی نانوسیال به ترتیب زیر محاسبه می‌شود [15]:

$$\rho_{nf} = \sum_{i=0}^8 f_i \quad (9)$$

$$V = \frac{\sum_{i=0}^8 e_i f_i}{\rho_{nf}} + \frac{\delta t}{2} E \quad (10)$$

برای رفع مشکل غیرخطی بودن رابطه (۶)، سرعت در آن بر حسب یک سرعت کمکی، V^* ، به صورت زیر تعیین می‌شود [32]:

$$V = \frac{V^*}{c_0 + \sqrt{c_0^2 + c_1 |V^*|}} \quad (11)$$

که در آن:

$$V^* = \frac{\sum_{i=0}^8 e_i f_i}{\rho_{nf}} + \frac{\delta t}{2} \varepsilon F_L \quad (12)$$

$$c_0 = \frac{1}{2} \left(1 + \varepsilon \frac{\delta t v_{nf}}{2K} \right) \quad (13)$$

$$c_1 = \varepsilon \frac{\delta t F_\varepsilon}{2\sqrt{K}} \quad (14)$$

برای تجزیه و تحلیل بخش گرمایی این پژوهش از تابع توزیع انرژی، g_i ، به صورت زیر استفاده می‌شود [35]:

$$\frac{g_i(\mathbf{x} + \mathbf{e}_i \delta t, t + \delta t) - g_i(\mathbf{x}, t)}{\delta t} = -\frac{1}{\tau_g} (g_i - g_i^{eq}) \quad (15)$$

که $\tau_g = \alpha_{eff} / (\delta t c_s^2) + 0.5$ زمان آرامش گرمایی است. در این جا، ضریب پخش گرمای نانوسیال در محیط متخلخل به شکل $\alpha_{eff} = \alpha_{nf} / \lambda$ محاسبه می‌شود که در آن، λ نسبت ظرفیت‌های گرمایی ماتریس متخلخل و نانوسیال را نشان می‌دهد [36]:

$$\lambda = \varepsilon + (1 - \varepsilon) \frac{\rho_s C_s}{\rho_{nf} C_{nf}} \quad (16)$$

$$g_5 = T_{in}(w_5 + w_7) - g_7 \quad (32)$$

$$g_8 = T_{in}(w_8 + w_6) - g_6 \quad (33)$$

در خروجی، شرط مرزی همرفتی که برای مرزهای باز ارائه شده است [40] و استفاده می شود [12,41]، اعمال

می شود؛ یعنی:

$$\frac{\partial \chi_i}{\partial t} + U_0(NI - 1, t) \frac{\partial \chi_i}{\partial x} = 0 \quad (34)$$

که در آن، χ_i تابع توزیع دلخواه f_i یا g_i و U_0 بیشینه سرعت عمود بر مرز خروجی در زمان t و لایه $NI - 1$ است. استفاده از این رابطه، مقدار توابع توزیع در مرز خروجی (لایه $NI - 1$) را به صورت های زیر نتیجه می دهد:

$$f_i(NI, j, t + 1) = [f_i(NI, j, t) + U_0(NI - 1, t + 1) \times f_i(NI - 1, j, t + 1)] / [1 + U_0(NI - 1, t + 1)] \quad (35)$$

$$g_i(NI, j, t + 1) = [g_i(NI, j, t) + U_0(NI - 1, t + 1) \times g_i(NI - 1, j, t + 1)] / [1 + U_0(NI - 1, t + 1)] \quad (36)$$

شرایط مرزی دیوارها

برای اعمال شرط نبود لغزش سرعت و شرط نبود پرش دمایی روی دیوارها، به ترتیب از روش بازگشت به عقب [31] و روش زو-هی [38] استفاده می شود. بدین ترتیب خواهیم داشت:

$$f_4 = f_2 \quad g_4 = T_{in}(w_4 + w_2) - g_2 \quad (37)$$

$$f_7 = f_5 \quad g_7 = T_{in}(w_7 + w_5) - g_5 \quad (38)$$

$$f_8 = f_6 \quad g_8 = T_{in}(w_8 + w_6) - g_6 \quad (39)$$

دیوار پایینی:

$$f_2 = f_4 \quad g_2 = T_{in}(w_2 + w_4) - g_4 \quad (40)$$

خلال گام انتشار به سمت خارج از میدان حل انتشار می یابند. با وجود این، مقدار این توابع در جهت های رو به درون مرز، مجهول باقی می ماند که به روش های زیر تعیین می شوند.

شرایط مرزی ورودی و خروجی

برای اعمال شرایط مرزی ورودی و خروجی در روش شبکه بولترمن از روش زو-هی [38] استفاده می شود که با توجه به آن، توابع توزیع f_1 ، f_6 و f_8 در ورودی، با روابط زیر تعیین می شوند:

$$\rho_{nf,in} = \frac{f_0 + f_2 + f_4 + 2(f_3 + f_6 + f_7)}{1 - u_{in}} \quad (23)$$

$$f_1 = f_3 + \frac{2}{3} \rho_{nf,in} u_{in} \quad (24)$$

$$f_5 = f_7 + \frac{f_4 - f_2}{2} + \frac{1}{6} \rho_{nf,in} u_{in} \quad (25)$$

$$f_8 = f_6 - \frac{f_4 - f_2}{2} + \frac{1}{6} \rho_{nf,in} u_{in} \quad (26)$$

روابط مشابهی برای توابع توزیع مجهول در مقطع خروجی نوشته می شود:

$$u_{out} = 1 - \frac{f_0 + f_2 + f_4 + 2(f_1 + f_5 + f_8)}{\rho_{nf,out}} \quad (27)$$

$$f_3 = f_1 + \frac{2}{3} \rho_{nf,out} u_{out} \quad (28)$$

$$f_6 = f_8 + \frac{f_4 - f_2}{2} + \frac{1}{6} \rho_{nf,out} u_{out} \quad (29)$$

$$f_7 = f_5 - \frac{f_4 - f_2}{2} + \frac{1}{6} \rho_{nf,out} u_{out} \quad (30)$$

علاوه بر این، توابع توزیع گرمایی به ترتیب زیر در ورودی تعیین می شود [39]:

$$g_1 = T_{in}(w_1 + w_3) - g_3 \quad (31)$$

حل عددی

برای حل عددی این مسئله لازم است توابع توزیع f_i و g_i در هر گام زمانی از حل معادلات (۱) و (۱۵) حاصل شوند. حل این معادلات شامل ۲ مرحله انتشار و برخورد است. در انتشار، ذرات در جهت f_i ها و g_i ها به سمت نزدیکترین گره شبکه مجاور خود حرکت می کنند؛ درحالی که برخورد سبب می شود ذرات به سمت تعادل محلی میل کنند. توزیع تعادلی توابع f_i و g_i به ترتیب از روابط (۳) و (۱۷) تعیین می شود. در پایان هر گام زمانی، شرایط مرزی اعمال می شوند تا در مرزها، مقدار توابع توزیع f_i و g_i در جهت های رو به درون مرز نیز مشخص شود. روند ذکر شده با ایجاد یک برنامه رایانه ای در زبان فرترن صورت می گیرد.

برای هم گرایی حل عددی، این معیار در نظر گرفته می شود که مجموع تغییر مؤلفه های سرعت و دما در تک تک نقاط میدان حل از تکراری به تکرار دیگر باید از 10^{-5} کوچک تر باشد. پس از هم گرایی حل عددی، مقدار ضریب همرفت میانگین به صورت زیر تعیین می شود:

$$h_m = \left| \frac{k_{nf} \frac{\partial T}{\partial y} \Big|_w}{T_w - T_b} \right| \quad (43)$$

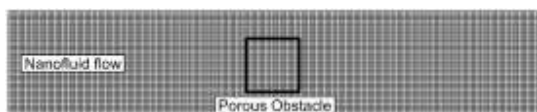
که در آن، T_w دمای دیوار و T_b دمای کپه ای سیال است.

در ادامه، عدد ناسلت میانگین به شکل زیر محاسبه می شود:

$$Nu_m = \frac{h_m H}{k_f} \quad (44)$$

شایان ذکر است که تعریف عدد رینولدز در این مسئله به صورت زیر است:

$$Re = \frac{\rho_f u_{in} H}{\mu_f} \quad (45)$$



شکل ۲ طرح شماتیک شبکه عددی استفاده شده

$$f_5 = f_7 \quad g_5 = T_{in}(w_5 + w_7) - g_7 \quad (41)$$

$$f_6 = f_8 \quad g_6 = T_{in}(w_6 + w_8) - g_8 \quad (42)$$

جدول ۱ عدد ناسلت میانگین برای شبکه بندی های مختلف

اندازه مانع متخلخل (سانتی متر)	تعداد نقاط شبکه	عدد ناسلت میانگین
۱	۲۵×۱۲۵	۱۷/۲۹۸
	۴۰×۲۰۰	۱۷/۴۱۳
	۶۵×۳۲۰	۱۷/۴۱۴
	۱۰۴×۵۱۲	۱۷/۴۱۵
۲	۲۵×۱۲۵	۱۸/۱۷۸
	۴۰×۲۰۰	۱۸/۲۸۶
	۶۵×۳۲۰	۱۸/۲۸۸
	۱۰۴×۵۱۲	۱۸/۲۸۹
۴	۲۵×۱۲۵	۱۹/۵۷۸
	۴۰×۲۰۰	۱۹/۷۶۱
	۶۵×۳۲۰	۱۹/۷۶۴
	۱۰۴×۵۱۲	۱۹/۷۶۶

جدول ۲ مقایسه نتایج این پژوهش با پژوهش حیدری و همکاران [4]

عدد ناسلت میانگین		عدد هارتمن
این پژوهش	حیدری و همکاران	
۵/۹۱	۵/۹۵	۰
۸/۵۹	۸/۶۵	۳۰
۹/۴۰	۹/۴۵	۶۰

جدول ۳ مقایسه نتایج این پژوهش با پژوهش نظری و همکاران [17]

عدد ناسلت میانگین		عدد رینولدز
این پژوهش	نظری و همکاران	
۱۲/۶۶	۱۲/۶۷	۱۰۰
۱۲/۹۵	۱۲/۹۹	۲۰۰
۱۳/۶۹	۱۳/۷۱	۳۰۰
۱۴/۵۳	۱۴/۵۷	۴۰۰

تحلیل شبکه و راستی آزمایی

برای انتخاب بهترین شبکه عددی، محاسبات در شبکه بندی های 25×125 ، 40×200 ، 65×320 و 104×512 برای نانوذرات مس با کسر حجمی ۲ درصد و به ازای ۳ اندازه مختلف از مانع متخلخل مسی با ضریب تخلخل 0.7 و عدد دارسی 0.0001 در $Re = 200$ و $Ha = 100$ انجام می شود که نتایج برحسب عدد ناسلت میانگین در جدول ۱ آمده است. پیداست که نتایج شبکه بندی 40×200 اختلاف بسیار اندکی با شبکه بندی های ریزتر دارد. از این رو و برای صرفه جویی در حجم محاسبات، در ادامه از این شبکه بندی استفاده خواهیم کرد.

برای راستی آزمایی حل عددی، ۲ آزمون مختلف انجام می شود؛ یکی برای کانالی که در آن نانوسیال در حضور میدان مغناطیسی جریان دارد و دیگری برای کانالی که در آن، مانع متخلخل نصب شده است. برای راستی آزمایی اول، نتایج برای نانوسیال آب مس با کسر حجمی ۴ درصد برحسب عدد ناسلت میانگین با نتایج پژوهش حیدری و همکاران [4] در جدول ۲ مقایسه می شود.

راستی آزمایی دوم (جدول ۳) به مقایسه نتایج این پژوهش با نتایج نظری و همکاران [17] برحسب تغییرات عدد ناسلت میانگین با عدد رینولدز می پردازد. در این راستی آزمایی از سیالی با عدد پرانتل 0.7 و نسبت ارتفاع مانع متخلخل به ارتفاع کانال 0.25 استفاده شده است. پیداست که نتایج، اختلاف چندانی با نتایج پژوهش های گذشته ندارند. این امر، دقت معادلات حاکم و حل عددی به کار رفته را نشان می دهد.

ارائه و تفسیر نتایج

در این بخش، نتایج شبیه سازی عددی ارائه و تجزیه و تحلیل می شود. هدف، بررسی اثر متغیرهای تأثیرگذار بر انتقال گرماست. برای این منظور و با توجه به تعدد این

متغیرها، روش طراحی آزمایشات تاگوچی استفاده می شود.

این متغیرها در این مسئله شامل سرعت نانوسیال ورودی به کانال، شدت میدان مغناطیسی اعمال شده، طول مشخصه مسئله، خواص سیال پایه (از قبیل چگالی، گرانروی، گرمای ویژه، ضریب رسانش گرما، ضریب رسانش الکتریکی)، کسر حجمی نانوذرات و خواص آن ها (از قبیل چگالی، گرمای ویژه، ضریب رسانش گرما، ضریب رسانش الکتریکی) و همچنین اندازه، ضریب تخلخل و نفوذپذیری مانع متخلخل و البته خواص آن (از قبیل چگالی، گرمای ویژه و ضریب رسانش گرما) است. در این جا با تعریف اعداد بدون بعد رینولدز، هارتمن و دارسی می توان از تعداد متغیرهای مؤثر در مسئله کاست و آن ها را در ۹ متغیر گردآوری کرد. این متغیرها شامل عدد رینولدز، عدد هارتمن، جنس سیال پایه، جنس و کسر حجمی نانوذرات و همچنین جنس، اندازه، ضریب تخلخل و نفوذپذیری مانع متخلخل است. در ادامه، با فرض سیال پایه یکسان (آب) در همه محاسبات، تعداد متغیرهای مؤثر به ۸ متغیر کاهش خواهد یافت.

برای تحلیل به روش تاگوچی، در این پژوهش برای هر یک از این ۸ متغیر مؤثر، ۳ سطح انتخاب می شود که جدول ۴ به معرفی آن ها پرداخته است. شایان ذکر است که با توجه به تعدد متغیرهای مؤثر، تحلیل با سطوح بیشتر، انتخاب آرایه متعامد برای طرح آزمایشات را ناممکن می کند. البته برای حفظ دقت تحلیل، مقدار سطوح برای هر یک از متغیرها به گونه ای انتخاب شده است که گستره عملی آن متغیر را پوشش دهد.

جدول ۵ خواص سیال پایه (آب) و نانوذرات (مس، اکسیدمس و اکسید آهن (Fe_3O_4)) و مانع متخلخل (آلومینیمی، استیل و مسی) به کار رفته در این تحلیل را بیان می کند. با توجه به انتخاب ۸ متغیر در ۳ سطح مختلف، آرایه متعامد L27 به عنوان طرح آزمایشات استفاده

نسبت سیگنال به نویز در این نوع به صورت زیر تعیین می شود:

$$SNR = -10 \log \left(\frac{1}{n} \sum_{i=1}^n \frac{1}{y_n^2} \right) \quad (46)$$

در این جا، y_i پاسخ هر آزمایش و n تعداد تکرار هر آزمایش است.

جدول ۷ میانگین نسبت سیگنال به نویز را برای سطوح مختلف متغیرهای حاضر آورده است. در این جدول، مقدار بیشینه نسبت سیگنال به نویز معرف حالت بهینه است.

می شود که برای این مسئله در جدول ۶ آورده شده است. لازم به توضیح است که برای بررسی همه حالت های ممکن در جدول ۴ به مطالعه $3^8=6561$ نیاز می بود که روش تاگوچی آن ها را به ۲۷ حالت کاهش داده است. برای هر یک از ۲۷ آزمایش درج شده در جدول ۶، پاسخ بر حسب عدد ناسلت میانگین و همچنین مقدار نسبت سیگنال به نویز (SNR) مربوط به آن عدد ناسلت آمده است. لازم به توضیح است که هدف در روش تاگوچی می تواند به صورت های (الف) بزرگ تر بهتر است، (ب) نامی بهتر است و (ج) کوچک تر بهتر است، انتخاب شود. از آن جایی که هدف از این پژوهش، بهبود تبادل گرماست، بهتر است حالت بزرگ تر انتخاب شود که

جدول ۴ متغیرها و سطوح بررسی شده در این تحلیل

سطح			متغیر
سوم	دوم	اول	
۳۰۰	۲۰۰	۱۰۰	عدد رینولدز
۲۰۰	۱۰۰	۰	عدد هارتمن
اکسید آهن	اکسید مس	مس	جنس نانوذرات
۴	۲	۱	کسر حجمی نانوذرات (درصد)
۴	۲	۱	اندازه مانع (سانتی متر)
۰/۹	۰/۷	۰/۵	تخلخل مانع
مس	استیل	آلومینیم	جنس مانع
۰/۰۰۱	۰/۰۰۰۱	۰/۰۰۰۰۱	عدد دارسی مانع

جدول ۵ خواص ترموفیزیکی آب، نانوذرات و مانع متخلخل

خاصیت	آب	اکسید آهن	اکسید مس	مس	آلومینیم	استیل
ρ (kgm^{-3})	۹۹۵/۷	۵۲۰۰	۶۵۰۰	۸۹۵۴	۲۷۱۹	۸۰۳۰
C_p ($\text{Jkg}^{-1}\text{K}^{-1}$)	۴۱۷۸	۶۷۰	۵۴۰	۳۸۳	۸۷۱	۵۰۲/۴۸
k ($\text{Wm}^{-1}\text{K}^{-1}$)	۰/۶۱۶	۶	۱۸	۴۰۰	۲۰۲/۴	۱۶/۲۷
μ ($\text{kgm}^{-1}\text{s}^{-1}$)	۰/۰۰۱۰۰۳	-	-	-	-	-
σ ($\Omega^{-1}\text{m}^{-1}$)	5×10^{-2}	25×10^3	$1/2 \times 10^{-8}$	$5/96 \times 10^7$	-	-

جدول ۶ طرح آزمایشات بر پایه آرایه متعامد L27 همراه با پاسخ برحسب عدد ناسلت میانگین و نسبت سیگنال به نویز مربوط به آن

نسبت سیگنال به نویز	عدد ناسلت میانگین	مانع متخلخل				نانوذرات		عدد هارتمن	عدد رینولدز	حالت
		عدد داریسی	جنس	تخلخل	اندازه (cm)	کسر حجمی	جنس			
۲۳/۲۸	۱۴/۵۸	۰/۰۰۰۰۱	آلومینیم	۰/۵	۱	۱	مس	۰	۱۰۰	۱
۲۴/۲۱	۱۶/۲۳	۰/۰۰۰۰۱	استیل	۰/۷	۲	۱	مس	۰	۱۰۰	۲
۲۶/۰۰	۱۹/۹۴	۰/۰۰۰۰۱	مس	۰/۹	۴	۱	مس	۰	۱۰۰	۳
۲۲/۴۲	۱۳/۲۱	۰/۰۰۰۰۱	آلومینیم	۰/۵	۱	۲	اکسیدمس	۱۰۰	۱۰۰	۴
۲۲/۹۹	۱۴/۱۱	۰/۰۰۰۰۱	استیل	۰/۷	۲	۲	اکسیدمس	۱۰۰	۱۰۰	۵
۲۴/۶۲	۱۷/۰۲	۰/۰۰۰۰۱	مس	۰/۹	۴	۲	اکسیدمس	۱۰۰	۱۰۰	۶
۲۰/۹۳	۱۱/۱۳	۰/۰۰۰۰۱	آلومینیم	۰/۵	۱	۴	اکسید آهن	۲۰۰	۱۰۰	۷
۲۱/۱۵	۱۱/۴۲	۰/۰۰۰۰۱	استیل	۰/۷	۲	۴	اکسید آهن	۲۰۰	۱۰۰	۸
۲۳/۲۷	۱۴/۵۷	۰/۰۰۰۰۱	مس	۰/۹	۴	۴	اکسید آهن	۲۰۰	۱۰۰	۹
۲۱/۹۵	۱۲/۵۲	۰/۰۰۰۰۱	مس	۰/۵	۱	۴	اکسیدمس	۰	۲۰۰	۱۰
۲۳/۱۷	۱۴/۴۱	۰/۰۰۰۰۱	آلومینیم	۰/۷	۲	۴	اکسیدمس	۰	۲۰۰	۱۱
۲۴/۵۳	۱۶/۸۴	۰/۰۰۰۰۱	استیل	۰/۹	۴	۴	اکسیدمس	۰	۲۰۰	۱۲
۲۰/۰۵	۱۰/۰۶	۰/۰۰۰۰۱	مس	۰/۵	۱	۱	اکسید آهن	۱۰۰	۲۰۰	۱۳
۲۱/۷۶	۱۲/۲۵	۰/۰۰۰۰۱	آلومینیم	۰/۷	۲	۱	اکسید آهن	۱۰۰	۲۰۰	۱۴
۲۳/۳۲	۱۴/۶۵	۰/۰۰۰۰۱	استیل	۰/۹	۴	۱	اکسید آهن	۱۰۰	۲۰۰	۱۵
۲۵/۹۰	۱۹/۷۲	۰/۰۰۰۰۱	مس	۰/۵	۱	۲	مس	۲۰۰	۲۰۰	۱۶
۲۶/۵۸	۲۱/۳۲	۰/۰۰۰۰۱	آلومینیم	۰/۷	۲	۲	مس	۲۰۰	۲۰۰	۱۷
۲۷/۲۸	۲۳/۱۲	۰/۰۰۰۰۱	استیل	۰/۹	۴	۲	مس	۲۰۰	۲۰۰	۱۸
۲۰/۱۴	۱۰/۱۶	۰/۰۰۰۰۱	استیل	۰/۵	۱	۲	اکسید آهن	۰	۳۰۰	۱۹
۲۲/۸۵	۱۳/۸۹	۰/۰۰۰۰۱	مس	۰/۷	۲	۲	اکسید آهن	۰	۳۰۰	۲۰
۲۴/۰۷	۱۵/۹۸	۰/۰۰۰۰۱	آلومینیم	۰/۹	۴	۲	اکسید آهن	۰	۳۰۰	۲۱
۲۶/۷۹	۲۱/۸۵	۰/۰۰۰۰۱	استیل	۰/۵	۱	۴	مس	۱۰۰	۳۰۰	۲۲
۲۸/۱۹	۲۵/۶۷	۰/۰۰۰۰۱	مس	۰/۷	۲	۴	مس	۱۰۰	۳۰۰	۲۳
۲۹/۰۷	۲۸/۴۱	۰/۰۰۰۰۱	آلومینیم	۰/۹	۴	۴	مس	۱۰۰	۳۰۰	۲۴
۲۲/۵۷	۱۳/۴۵	۰/۰۰۰۰۱	استیل	۰/۵	۱	۱	اکسیدمس	۲۰۰	۳۰۰	۲۵
۲۴/۰۸	۱۵/۹۹	۰/۰۰۰۰۱	مس	۰/۷	۲	۱	اکسیدمس	۲۰۰	۳۰۰	۲۶
۲۵/۰۴	۱۷/۸۶	۰/۰۰۰۰۱	آلومینیم	۰/۹	۴	۱	اکسیدمس	۲۰۰	۳۰۰	۲۷

جدول ۷ میانگین نسبت سیگنال به نویز برای سطوح مختلف متغیرهای حاضر

سطح	عدد رینولدز	عدد هارتمن	نانوذرات		مانع متخلخل			
			کسر حجمی	جنس	اندازه	تخلخل	جنس	
۱	۲۳/۲۱	۲۳/۳۵	۲۶/۳۶	۲۳/۳۷	۲۲/۶۷	۲۴/۱۰	۲۴/۰۳	۲۳/۸۰
۲	۲۳/۸۴	۲۴/۳۶	۲۳/۴۹	۲۴/۰۹	۲۳/۸۹	۲۳/۸۳	۲۳/۶۶	۲۳/۹۰
۳	۲۴/۷۶	۲۴/۰۹	۲۱/۹۵	۲۴/۳۴	۲۵/۲۴	۲۳/۸۸	۲۴/۱۰	۲۴/۱۰
دلتا	۱/۵۵	۱/۰۰	۴/۴۱	۰/۹۷	۲/۵۷	۰/۲۷	۰/۴۴	۰/۳۱
رتبه	۳	۴	۱	۵	۲	۸	۶	۷

جدول ۸ نتایج تحلیل واریانس

متغیر	درجه آزادی	مجموع مربعات	واریانس	سهم مشارکت (درصد)
عدد رینولدز	۲	۱۰/۹۲	۵/۴۶	۷/۵۸
عدد هارتمن	۲	۴/۸۴	۲/۴۲	۳/۳۶
جنس نانوذرات	۲	۹۰/۴۰	۴۵/۲۰	۶۲/۷۹
کسر حجمی نانوذرات	۲	۴/۶۱	۲/۳۰	۳/۲۰
اندازه مانع	۲	۲۹/۸۲	۱۴/۹۱	۲۰/۷۱
تخلخل مانع	۲	۰/۳۷	۰/۱۹	۰/۲۶
جنس مانع	۲	۱/۰۰	۰/۵۰	۰/۶۹
عدد دارسی مانع	۲	۰/۴۴	۰/۲۲	۰/۳۱
خطا	۱۰	۱/۵۷	۰/۱۶	۱/۰۹
مجموع	۲۶	۱۴۳/۹۷		

واحد تعریف می‌شود. همچنین، واریانس یک متغیر از تقسیم مجموع مربعات بر درجه آزادی تعیین می‌شود که مشخص می‌کند چگونه مقدار پاسخ به آن متغیر بستگی دارد؛ به نحوی که متغیری با واریانس بیشتر، تأثیرگذاری بیشتری خواهد داشت. علاوه بر این، سهم مشارکت هر متغیر به صورت نسبت مجموع مربعات آن متغیر بر مجموع مربعات همه متغیرها تعریف می‌شود.

نتایج تحلیل واریانس در جدول ۸ آمده است. در این جا، ترتیب تأثیرگذاری متغیرها، یافته‌های روش تاگوچی را تأیید می‌کند. پیداست که نوع نانوذرات با سهم ۶۲/۷۹ درصد در مقایسه با سایر متغیرها، بیشترین تأثیر را بر میزان انتقال گرما دارد. متغیرهای دوم و سوم، اندازه مانع متخلخل و عدد رینولدز، به ترتیب با سهم ۲۰/۷۱ درصد و ۷/۵۸ درصد است. چهارمین و پنجمین متغیر، عدد هارتمن با سهم ۳/۳۶ درصد و کسر حجمی نانوذرات با سهم ۳/۲۰ درصد هستند. در مقابل، مشخص می‌شود که تأثیر مجموع عوامل جنس، ضریب تخلخل و عددی دارسی مانع متخلخل فقط ۱/۲۶ درصد است.

نتیجه گیری

در این پژوهش، با اعمال مدل دارسی-برینکمن-فرچهمر در روش شبکه بولتزمن، انتقال گرمای همرفت

بدین ترتیب، حالت بهینه در عدد رینولدز ۳۰۰، عدد هارتمن ۱۰۰، کسر حجمی نانوذرات ۴ درصد، نانوذرات و مانع متخلخل از جنس مس و مانع متخلخل ۴ سانتی متری با تخلخل ۰/۵ و عدد دارسی ۰/۰۰۱ است. شبیه‌سازی این حالت، عدد ناسلت میانگین را برابر با ۳۱/۲۳ نشان می‌دهد که از همه ۲۷ حالت جدول ۶ بیشتر است. این امر بر کارایی روش تاگوچی در یافتن حالت بهینه صحه می‌گذارد.

مقدار دلتا در جدول ۷ تفاوت مقادیرهای بیشینه و کمینه نسبت سیگنال به نویز را برای هر یک از متغیرها معرفی می‌کند. از این رو، دلتای بزرگ‌تر معرف تأثیرگذاری بیشتر است. بدین ترتیب می‌توان متغیرها را بر اساس میزان تأثیرگذاری آن‌ها دسته‌بندی کرد.

در جدول ۷ پیداست که جنس نانوذرات، اندازه مانع متخلخل و عدد رینولدز به ترتیب، متغیرهای اول، دوم و سوم از نظر تأثیرگذاری بر تبادل گرما هستند. در مقابل، کمترین نقش به ضریب تخلخل، عددی دارسی و جنس مانع متخلخل مربوط می‌شود.

اکنون تحلیل واریانس به نتایج روش تاگوچی اعمال می‌شود تا سهم مشارکت هر یک از متغیرها مشخص شود. در تحلیل واریانس، درجه آزادی هر متغیر به صورت تعداد سطوح هر متغیر در آرایه متعامد منهای

مجموع نیروهای حجمی ناشی (kgms^{-2})	E	اجباری نانوسیال در یک کانال با دیوارهای دما ثابت و
از محیط متخلخل و میدان مغناطیسی	f_i	در حضور میدان مغناطیسی خارجی و مانع متخلخل
تابع توزیع لحظه‌ای سرعت ذرات	F_i	شبیه‌سازی شد. در ادامه، با بهره‌گیری از روش طراحی
نیروی حجمی (kgms^{-2})	F_L	آزمایشات تاگوچی، اثر عدد رینولدز، عدد هارتمن،
نیروی لورنتز (kgms^{-2})	F_ε	کسر حجمی نانوذرات و جنس آن‌ها و همچنین اندازه،
تابع هندسی	g_i	جنس، ضریب تخلخل و عدد دارسی مانع متخلخل بر
تابع توزیع انرژی	h_m	میزان انتقال گرما مطالعه شد. نتایج به‌دست‌آمده از این
ضریب انتقال گرمای ($\text{Wm}^{-2}\text{K}^{-1}$)	H	پژوهش را می‌توان در موارد زیر جمع‌بندی کرد:
هم‌رفتی میانگین	Ha	(۱) نوع نانوذرات با سهم $62/79$ در صد، در مقایسه با
ارتفاع (m)	k	سایر متغیرها، بیشترین تأثیر را بر میزان انتقال گرما
عدد هارتمن	K	دارد. متغیرهای دوم و سوم، اندازه مانع متخلخل و عدد
ضریب رسانش گرما ($\text{Wm}^{-1}\text{K}^{-1}$)	NI	رینولدز به‌ترتیب با سهم $20/71$ و $7/58$ درصد است.
نفوذپذیری محیط متخلخل (m^2)	NJ	(۲) سهم عدد هارتمن و کسر حجمی نانوذرات در حدود
تعداد نقاط شبکه در جهت x	Nu	33 درصد است.
تعداد نقاط شبکه در جهت y	Re	(۳) تأثیر تخلخل، جنس و عدد دارسی مانع متخلخل بر
عدد ناسلت	t	مقدار میانگین عدد ناسلت، در مقایسه با سایر متغیرها
عدد رینولدز	T_b	ناچیز است.
زمان (s)	T_{in}	(۴) حالت بهینه در عدد رینولدز 300 ، عدد هارتمن
دمای کپه‌ای سیال (K)	T_w	100 ، کسر حجمی نانوذرات 4 در صد، نانوذرات و مانع
دمای ورودی (K)	U_0	متخلخل از جنس مس و مانع متخلخل 4 سانتی‌متری با
دمای دیوار (K)	V	تخلخل $0/5$ و عدد دارسی $0/001$ است.
سرعت بیشینه در مقطع خروجی (ms^{-1})	V^*	باید در نظر داشت که در این پژوهش، روش تاگوچی
بردار سرعت ماکروسکوپی سیال، $V = ui + vj$ (ms^{-1})	w	در گستره‌هایی که در جدول 4 برای هریک از متغیرهای
بردار سرعت کمکی (ms^{-1})	x	مؤثر آمده، اعمال شده است. از این رو، یافته‌های آن نیز
فاکتور وزنی	y	فقط در این گستره برقرار خواهد بود.
مؤلفه x در دستگاه مختصات دکارتی		
مؤلفه y در دستگاه مختصات دکارتی		
فهرست علائم		
	A	شاخص مغناطیسی
	B	شدت میدان مغناطیسی (T)
	c	سرعت شبکه (ms^{-1})
	c_s	سرعت صوت شبکه‌ای (ms^{-1})
	C	گرمای ویژه ($\text{Jkg}^{-1}\text{K}^{-1}$)
	Da	عدد دارسی
	e_i	سرعت مجزا (ms^{-1})
علائم یونانی		
	α	ضریب پخش گرما (m^2s^{-1})
	β	زاویه میدان مغناطیسی با راستای افقی
	δt	اندازه گام زمانی شبکه

اندازه شبکه	δx	زیر نویس
ضریب تخلخل	ε	eff مؤثر
گرانروی پویا ($\text{kgm}^{-1}\text{s}^{-1}$)	μ	eq تعادلی
گرانروی حرکتی (m^2s^{-1})	ν	f سیال پایه
چگالی (kgm^{-3})	ρ	i جهت سرعت مجزا
ضریب رسانش الکتریکی ($\Omega^{-1}\text{m}^{-1}$)	σ	in ورودی
زمان آرامش هیدرودینامیکی	τ_f	nf نانوسیال
زمان آرامش گرمایی	τ_g	out خروجی
کسر حجمی نانوذرات	φ	p نانوذرات
تابع توزیع f_i یا g_i	χ_i	s ماتریس متخلخل

مراجع

1. Fakur, M., Vahabzadeh, A. and Ganji, D.D., "Study of heat transfer and flow of nanofluid in permeable channel in the presence of magnetic field", *Propulsion and Power Research*, Vol. 4, pp. 50–62, (2017).
2. Izadi, M., Mohebbi, R., Delouei, A.A. and Sajjadi, H., "Natural convection of a magnetizable hybrid nanofluid inside a porous enclosure subjected to two variable magnetic fields", *International Journal of Mechanical Sciences*, Vol. 151, pp. 154–169, (2019).
3. Bezaatpour, M. and Goharkhah, M., "Effect of magnetic field on the hydrodynamic and heat transfer of magnetite ferrofluid flow in a porous fin heat sink", *Journal of Magnetism and Magnetic Materials*, Vol. 476, pp. 506–515, (2019).
4. Heidary, H., Hosseini, R., Pirmohammadi, M. and Kermani, M.J., "Numerical study of magnetic field effect on nanofluid forced convection in a channel", *Journal of Magnetism and Magnetic Materials*, Vol. 374, pp. 11–17, (2015).
5. Zahmatkesh, I. and Shandiz, M.R.H., "Optimum constituents for MHD heat transfer of nanofluids within porous cavities", *Journal of Thermal Analysis and Calorimetry*, Vol. 138, pp. 1669–1681, (2019).
6. Ramian, P., Rahni, M.T. and Adamian, A., "Computational simulation of effects of nano-fluidicity and flow boundaries on natural heat transfer in presence of magnetic field, using LBM", *Modares Mechanical Engineering*, Vol. 15, pp. 167–178, (2015) (In Persian).
7. Aliu, O., Sakidin, H., Foroozesh, J. and Yahya, N., "Lattice Boltzmann application to nanofluids dynamics—A review", *Journal of Molecular Liquids*, Vol. 300, p. 112284, (2020).
8. Uriel, F., Hasslacher, B. and Pomeau, Y., "Lattice-gas automata for the Navier-Stokes equation", *Physical Review Letters*, Vol. 56, pp. 1505–1508, (1986).
9. McNamara, G.R. and Zanetti, G., "Use of the Boltzmann equation to simulate lattice-gas automata",

- Physical Review Letters*, Vol. 61, pp. 2332–2335, (1988).
10. Higuera, F.J. and Jiménez, J., “Boltzmann approach to lattice gas simulations”, *EPL (Europhysics Letters)*, Vol. 9, p. 663, (1989).
 11. Chen, H., Chen, S. and Matthaeus, W.H., “Recovery of Navier–Stokes equation using a lattice–gas Boltzmann equation method”, *Physical Review A*, Vol. 45, pp. 5339–5342, (1992).
 12. Ashorynejad, H.R. and Zarghami, A., “Magnetohydrodynamics flow and heat transfer of Cu–water nanofluid through a partially porous wavy channel”, *International Journal of Heat and Mass Transfer*, Vol. 119, pp. 247–258, (2018).
 13. Servati, A.A., Javaherdeh, K. and Ashorynejad, H.R., “Magnetic field effects on force convection flow of a nanofluid in a channel partially filled with porous media using Lattice Boltzmann Method”, *Advanced Powder Technology*, Vol. 25, pp. 666–675, (2014).
 14. Golneshan, A.A. and Lahonian, M., “Diffusion of magnetic nanoparticles in a multi–site injection process within a biological tissue during magnetic fluid hyperthermia using lattice Boltzmann method”, *Mechanics Research Communications*, Vol. 38, pp. 425–430, (2011).
 15. Nazari, M., Kayhani, M.H. and Mohebbi, R., “Heat transfer enhancement in channel partially filled with porous block: Lattice Boltzmann method”, *International Journal of Modern Physics C*, Vol. 24, p. 1350060, (2013).
 16. Rong, F., Shi, B. and Cui, X., “Lattice Boltzmann simulation of heat and fluid flow in 3D cylindrical heat exchanger with porous blocks”, *Applied Mathematics and Computation*, Vol. 276, pp. 367–378, (2016).
 17. Abchouyeh, M.A., Fard, O.S., Mohebbi, R. and Sheremet, M.A., “Enhancement of heat transfer of nanofluids in the presence of sinusoidal side obstacles between two parallel plates through the lattice Boltzmann method”, *International Journal of Mechanical Sciences*, Vol. 156, pp. 159–169, (2019).
 18. Feng, X.B., Liu, Q. and He, Y.L., “Numerical simulations of convection heat transfer in porous media using a cascaded lattice Boltzmann method”, *International Journal of Heat and Mass Transfer*, Vol. 151, p. 119410, (2020).
 19. Mohebbi, R., Izadi, M., Delouei, A.A. and Sajjadi, H., “Effect of MWCNT–Fe₃O₄/water hybrid nanofluid on the thermal performance of ribbed channel with apart sections of heating and cooling”, *Journal of Thermal Analysis and Calorimetry*, Vol. 135, pp. 3029–3042, (2019).
 20. Sajjadi, H., Delouei, A.A., Izadi, M. and Mohebbi, R., “Investigation of MHD natural convection in a porous media by double MRT lattice Boltzmann method utilizing MWCNT–Fe₃O₄/water hybrid nanofluid,” *International Journal of Heat and Mass Transfer*, Vol. 132, pp. 1087–1104, (2019).
 21. Kuznetsov, A.V., “Analytical study of fluid flow and heat transfer during forced convection in a composite channel partly filled with a Brinkman–Forchheimer porous medium”, *Flow, Turbulence and Combustion*, Vol. 60, pp. 173–192, (1998).

22. Goli, A. and Zahmatkesh, I., "Slip flow in porous micro-tubes under local thermal non-equilibrium conditions", *Transport Phenomena in Nano and Micro Scales*, Vol. 6, pp. 79–87, (2018).
23. Rashidi, S., Dehghan, M., Ellahi, R., Riaz, M. and Jamal-Abad, M.T., "Study of wise transverse magnetic fluid flow with heat transfer around an obstacle embedded in porous media", *Journal of Magnetism and Magnetic Materials*, Vol. 378, pp. 128–137, (2015).
24. Namadchain, H., Zahmatkesh, I. and Alavi, S.M.A., "Numerical simulation of nanofluid flow in an annulus with porous baffles based on the combination of the Darcy-Brinkman-Forchheimer model and the two-phase mixture model", *Amirkabir Journal of Mechanical Engineering*, Vol. 53 (2021) (In Persian).
25. Esmaeili, M., Karami, M. and Delfani, S., "Performance enhancement of a direct absorption solar collector using copper oxide porous foam and nanofluid", *International Journal of Energy Research*, Vol. 44, pp. 5527–5544, (2020).
26. Shirvan, K.M. and Mamourian, M., "Numerical investigation and optimization of mixed convection and entropy generation in square cavity with lid-driven", *Modares Mechanical Engineering*, Vol. 15, pp. 164–174, (2015) (In Persian).
27. Jamei, M.K. and Abbasi, M., "Numerical investigation of nano-fluid flow on micro channel heat sink efficiency using the Taguchi method", *Journal of Solid and Fluid Mechanics*, Vol. 7, pp. 287–275, (2017) (In Persian).
28. Alinezhad, J. and Esfahani, J.A., "Lattice Boltzmann simulation and Taguchi optimization of magnetic field effects on nanofluid natural convection in a semicircular enclosure", *Fluid Mechanics and Aerodynamics Journal*, Vol. 6, pp. 45–59, (2017) (In Persian).
29. Sharifi, A.H., Zahmatkesh, I., Mozhdehi, A.M., Morsali, A. and Bamoharram, F.F., "Stability appraisalment of the alumina-brine nanofluid in the presence of ionic and non-ionic disparents on the alumina nanoparticles surface as heat transfer fluids: Quantum mechanical study and Taguchi-optimized experimental analysis", *Journal of Molecular Liquids*, Vol. 319, p. 113898, (2020).
30. Bazkhane, S. and Zahmatkesh, I., "Taguchi-based sensitivity analysis of hydrodynamics and heat transfer of nanofluids in a microchannel heat sink (MCHS) having porous substrates", *International Communications in Heat and Mass Transfer*, Vol. 118, p. 104885, (2020).
31. Sukop, M.C. and Thorne, D.T.J., "Lattice Boltzmann Modeling: An Introduction for Geoscientists and Engineers", Springer-Verlag, Berlin, Heidelberg, (2006).
32. Guo, Z. and Zhao, T.S., "Lattice Boltzmann model for incompressible flows through porous media", *Physical Review E*, Vol. 66, p. 036304, (2002).
33. Zarghami, A., Biscarini, C., Succi, S. and Ubertini, S., "Hydrodynamics in porous media: a finite volume lattice Boltzmann study", *Journal of Scientific Computing*, Vol. 59, pp. 80–103, (2014).

34. Ergun, S., "Fluid flow through packed columns", *Chemical Engineering Progress*, Vol. 48, pp. 89–94, (1952).
35. Guo, Z., Zheng, C., Shi, B. and Zhao, T.S., "Thermal lattice Boltzmann equation for low Mach number flows: Decoupling model", *Physical Review E*, Vol. 75, p. 036704, (2007).
36. Jin, L., Zhang, X. and Niu, X., "Lattice Boltzmann simulation for temperature-sensitive magnetic fluids in a porous square cavity", *Journal of Magnetism and Magnetic Materials*, Vol. 324, pp. 44–51, (2012).
37. Torshizi, E. and Zahmatkesh, I., "Comparison between single-phase, two-phase mixture and Eulerian-Eulerian models for the simulation of jet impingement of nanofluids", *Journal of Applied and Computational Sciences in Mechanics*, Vol. 27, pp. 55–70, (2016) (In Persian).
38. Zou, Q. and He, X., "On pressure and velocity boundary conditions for the lattice Boltzmann BGK model", *Physics of Fluids*, Vol. 9, pp. 1591–1598, (1997).
39. Mohamad, A.A., "Applied Lattice Boltzmann Method for Transport Phenomena, Momentum, Heat and Mass Transfer", Sure Printing, Calgary, Canada, (2007).
40. Orlanski, I., "A simple boundary condition for unbounded hyperbolic flows", *Journal of Computational Physics*, Vol. 21, pp. 251–269, (1976).
41. Zarghami A. and Padding J.T., "Drag, lift and torque acting on a two-dimensional non-spherical particle near a wall", *Advanced Powder Technology*, Vol. 29, pp. 1507–1517, (2018).

Heat Transfer of Nanofluid in a Channel with Magnetic Field and Porous Obstacle using the Darcy–Brinkman–Forchheimer Model in the LBM Method

Saed Bazkhane¹ Iman Zahmatkesh²

1. Introduction

Forced convection heat transfer in pipes and channels occurs in many practical applications including heat exchangers, solar collectors, boilers, chemical reactors, and cooling of electronic equipment. To elevate heat transfer in these devices, the use of porous media, utilization of nanofluids, and insertion of magnetic fields have been employed in recent years. However, the combination of these three methods has not been discussed thoroughly. Hence, forced convection heat transfer of nanofluid in a channel with an externally–applied magnetic field and a porous obstacle is simulated and discussed in this study. Schematics of the problem is depicted in Figure 1 and Table 1 reports the geometric and working parameters.

Table 1. The geometric and working parameters

Parameter	Symbol	value
Channel length	L	40 cm
Channel height	H	8 cm
Obstacle size	W	1, 2, 4 cm
Obstacle location	a	4 cm
Obstacle location	b	20 cm
Inlet temperature	T_{in}	300 K
Wall temperature	T_w	340 K

2. Simulation Approach

To simulate the flow field, the Darcy–Brinkman–Forchheimer model is implemented in the Lattice Boltzmann Method (LBM) method. To this aim, the following distribution functions are solved for the velocity and temperature distributions, respectively:

$$\frac{f_i(\mathbf{x} + \mathbf{e}_i \delta t, t + \delta t) - f_i(\mathbf{x}, t)}{\delta t} = -\frac{1}{\tau_f} (f_i(\mathbf{x}, t) - f_i^{eq}(\mathbf{x}, t)) + \mathbf{F}_i \quad (1)$$

$$\frac{g_i(\mathbf{x} + \mathbf{e}_i \delta t, t + \delta t) - g_i(\mathbf{x}, t)}{\delta t} = -\frac{1}{\tau_g} (g_i - g_i^{eq}) \quad (2)$$

Here, f_i and g_i are the distribution functions for the velocity and temperature, respectively. Moreover, τ_f and τ_g are the corresponding relaxation times while f_i^{eq} and g_i^{eq} are the equilibrium distribution functions, \mathbf{x} is the spatial coordinates, \mathbf{e}_i is the unit vector, t is time, and δt is the time step.

To incorporate the magnetic field insertion and the presence of the porous obstacle, the body force term is obtained from the following equation:

$$\mathbf{F}_i = w_i \rho_{nf} \left(1 - \frac{1}{2\tau_f} \right) \left[\frac{\mathbf{e}_i \cdot \mathbf{E}}{c_s^2} + \frac{(\mathbf{V} \cdot \mathbf{e}_i)(\mathbf{E} \cdot \mathbf{e}_i)}{\varepsilon c_s^4} - \frac{\mathbf{V} \cdot \mathbf{E}}{\varepsilon c_s^2} \right]_{i=0-8} \quad (3)$$

with

$$\mathbf{E} = \varepsilon \left[\mathbf{F}_L - \frac{v_{nf}}{K} \mathbf{V} - \frac{F_\varepsilon}{\sqrt{K}} |\mathbf{V}| \mathbf{V} \right] \quad (4)$$

In the above equations, ε is the porosity and K is the permeability of the porous obstacle and \mathbf{F}_L is the Lorentz force:

$$\mathbf{F}_L = A[v \sin \beta \cos \beta - u \sin^2 \beta] \mathbf{i} + A[u \sin \beta \cos \beta - v \cos^2 \beta] \mathbf{j} \quad (5)$$

with β being the magnetic field inclination angle and A being the magnetic index. Meanwhile, u and v are the velocity components in the x and y directions, respectively.

For the numerical simulation, f_i and g_i are obtained in each time step, according to equations (1) and (2). The solution of these equations includes the collision and propagation steps. In the collision step, each particle is relaxed towards a local equilibrium condition while in the propagation step, the particles move in the f_i and g_i directions towards the nearest grid point. This procedure is implemented in a FORTRAN code.

To obtain a suitable grid system, a grid independence test is undertaken and a 40×200 grid is found sufficient. Figure 2 shows the grid system.

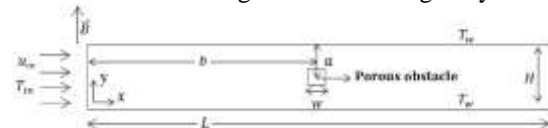


Figure 1. Schematics of the current problem

¹ Ph.D. Student, Department of Mechanical Engineering, Mashhad Branch, Islamic Azad University, Mashhad, Iran.

² Corresponding author. Associate Professor, Department of Mechanical Engineering, Mashhad Branch, Islamic Azad University, Mashhad, Iran. Email: Zahmatkesh5310@mshdiau.ac.ir

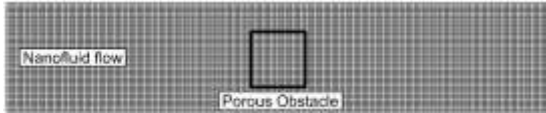


Figure 2. The employed grid system

3. Results

The current influential parameters include the Reynolds and Hartmann numbers, the type and fraction of the nanoparticles (NPs) as well as the size, type, porosity, and the Darcy number of the obstacle. Due to the variety of these parameters and to provide a systematic survey, the Taguchi experimental design method is adopted here. Table 2 reports the levels of the selected parameters.

For the current number of parameters and their levels, the L27 orthogonal array is available for the Taguchi method. This reduces the number of required experiments from $3^8=6561$ experiments to just 27 tests.

The LBM code is run for the 27 cases provided in the L27 orthogonal array and the results are obtained in terms of the mean Nusselt number. Thereafter, the Taguchi method is applied to these outcomes which provides the rank of each of the current parameters. The results are listed in Table 3.

Table 2. The current parameters and their levels

Parameter	Levels		
	1	2	3
Reynolds number	100	200	300
Hartmann number	0	100	200
NPs type	Cu	CuO	Fe ₃ O ₄
NPs fraction	1%	2%	4%
Obstacle size (cm)	1	2	4
Obstacle type	Al	Steel	Cu
Porosity	0.5	0.7	0.9
Darcy number	10^{-3}	10^{-4}	10^{-5}

Table 3. The rank and contribution of the current parameters

Parameter	Rank	Contribution (%)
Reynolds number	3	7.58
Hartmann number	4	3.36
NPs type	1	62.79
NPs fraction	5	3.20
Obstacle size (cm)	2	20.71
Obstacle type	6	0.69
Porosity	8	0.26
Darcy number	7	0.31

Table 3 shows that the nanoparticles type is the most influential parameter, followed by the obstacle size and the Reynolds number.

To verify the findings of the Taguchi method and to obtain the percent of contribution of each of the parameters, the analysis of variance is applied to the results of the Taguchi method. The outcomes

are reported in Table 3. It is evident that the nanoparticles type has the greatest effect on the heat transfer, with the contribution ratio of 62.79%. The second and the third influential parameters were found to be the obstacle size and the Reynolds number, with the contribution ratios of 20.71% and 7.58%, respectively. The results also show that the contribution ratios of the Hartmann number and the nanoparticles fraction are about 3%. In spite of that, it is clear that the influences of the porosity, type, and the Darcy number of the obstacle on the mean Nusselt number are almost negligible.

The Taguchi method shows that in the current flow problem, the optimum case belongs to: the Reynolds number of 300, the Hartmann number of 100, the nanoparticles fraction of 4%, the nanoparticles and the obstacle made up of copper, and the obstacle having the size of 4cm, the porosity of 0.5, and the Darcy number of 0.001.

4. Conclusion

In this study, the Darcy–Brinkman–Forchheimer model was implemented in the LBM method to simulate forced convection heat transfer of nanofluid in a channel with an externally–applied magnetic field and a porous obstacle. Then, effects of the Reynolds and Hartmann numbers, the type and fraction of the nanoparticles as well as the size, type, porosity, and the Darcy number of the obstacle on the heat transfer rate were analyzed through the Taguchi experimental design method. Based on the presented results, the following conclusions may be drawn:

1. The nanoparticles type produces the highest contribution on the heat transfer rate, with the contribution ratio of 62.79%.
2. The second and the third influential parameters are the obstacle size and the Reynolds number, with the contribution ratios of 20.71% and 7.58%, respectively.